

بررسی رفتار دیوارهای برشی کوپل تحت اثر زلزله‌های میدان نزدیک*

سید مصطفی رزا (۱)

هاشم شریعتمدار (۲)

چکیده دیوارهای برشی کوپله یکی از پرکاربردترین سیستم‌های مقاوم در برابر بارهای جانبی در ساختمان‌های بلند و متورسته بتنی می‌باشد. از آن جایی که رفتار سازه‌ها در برابر بارهای جانبی تا حد زیادی به رفتار دیوارهای برشی بستگی دارد، لذا این جزء سازه‌ای باید دارای رفتار مطلوبی در شرایط بارگذاری گوناگون باشد. با توجه به این که سازه‌های موجود در نزدیکی منبع لرزه‌زا در هنگام وقوع زمین‌لرزه رفتاری متفاوت نسبت به سازه‌های دور از منبع لرزه‌زا از خود نشان می‌دهند، لذا بررسی و شناخت رفتار این دیوارها در برابر زلزله‌های میدان نزدیک از اهمیت بالایی برخودار است. بدین منظور پس از اعتبارسنجی مدل اجزای محدود با یک نمونه‌ی آزمایشگاهی، دیوارهای برشی دو ساختمان ۱۰ و ۲۰ طبقه با نسبت‌های $\frac{l}{h}$ (اطول دهانه و h /ارتفاع تیرکوپله) $\frac{2}{1}$ ، $\frac{2}{0.7}$ و $\frac{2}{1.75}$ در نرم‌افزار Abaqus مدل‌سازی شده و با انجام تحلیل غیرخطی تاریخچه‌زمانی تحت اثر دو زوج رکورد دور و نزدیک گسل، به بررسی رفتار این دیوارها تحت اثر زلزله‌های میدان نزدیک پرداخته شده است. نتایج بدست آمده نشان می‌دهد که در نواحی نزدیک گسل در مقایسه با حوزه‌ی دور، نیازهای سازه‌ای بیشتر خواهد بود. همچنین با افزایش ارتفاع تیرکوپله و پریود طبیعی سازه از اثرات زلزله‌های نزدیک گسل کاسته می‌شود و در نتیجه خسارات وارد کاهش می‌یابد.

واژه‌های کلیدی دیوار برشی کوپله، زلزله میدان نزدیک، تحلیل غیرخطی تاریخچه‌زمانی، تغییر مکان.

Evaluation of Coupled- Shear Walls Subjected to Near-Field Earthquakes

S. M. Razzaz

H. Shariatmadar

Abstract Coupled -shear walls are one of lateral load resisting systems in high and medium rise reinforced concrete buildings. The lateral structural response is exactly dependents on the shear walls behavior; therefore these elements must response well when under different load conditions. The structures located in near-source region behave differently compared to those in near-source sites when subjected to earthquake. Therefore, it is very important to study the behavior of these walls under near-field seismic loads. To do this, after validation of the finite element model with experimental sample; coupled-shear walls in 10 and 20 story buildings with $\frac{l}{h}$ ratio (l =span length and h =beam height) of $\frac{2}{0.7}$, $\frac{2}{1}$, $\frac{2}{1.75}$ and were modeled in Abaqus computer software. The nonlinear time history analysis were carried out using two coupled near and far fault records and then the performance of walls were studied under near-field earthquake. The results show that the structural demands are higher for structures in near-field area in comparison to those for far-field. Besides, the effects of near- fault earthquake decrease when the coupled beam height and structural natural period increase.

Keywords Coupled- Shear Walls, Near-Field Earthquake, Nonlinear Time History Analysis, Displacement.

*تاریخ دریافت مقاله ۹۲/۱۱/۲۹ و تاریخ پذیرش آن ۹۴/۷/۱۴ می‌باشد.

(۱) دانش آموخته، کارشناسی ارشد سازه، دانشگاه فردوسی مشهد.

(۲) نویسنده‌ی مسئول: دانشیار، گروه عمران، دانشکده مهندسی، دانشگاه فردوسی مشهد.

گالانور و وینکلی (۲۰۰۰) اشاره کرد [۳].

عده‌ای از محققان به بررسی خصوصیات تیر همبند پرداختند در همین راستا می‌توان به تحقیقات رائو و همکاران اشاره کرد. آن‌ها به بررسی تأثیر ارتفاع تیر کوپله و درصد آرماتور برشی آن در آزمایشگاه پرداختند و به این نتیجه رسیدند که تیرهای کوپله با نسبت دهانه به ضخامت ($\frac{1}{6}$) کمتر از ۲ شبیه تیرهای عمیق رفتار می‌کنند و در برش دچار شکست می‌شوند. هم‌چنین تیرهای کوپله با درصد آرماتور برشی کمتر دچار گسیختگی برشی-کششی می‌شوند اما نمونه‌های با آرماتور برشی بیشتر، اغلب دچار گسیختگی لغرنی-برشی می‌شوند و دارای شکستی ترد می‌باشند [۴].

در کنار پژوهش‌های آزمایشگاهی صورت گرفته، عده‌ای از محققان به بررسی روش‌های تحلیل دیوارهای برشی کوپله، برای ارائه‌ی روش‌های دقیق‌تر پرداختند. در همین جهت می‌توان به ارائه‌ی روش قاب معادل تو سط کنندی و مک‌لود اشاره کرد، که در ادامه تو سط خوان و محققان دیگر بهبود یافت [۵]. هم‌چنین با تو سعه و گسترش روش اجزای محدود، این روش در تحلیل دیوارهای برشی کوپله به کار گرفته شد که منجر به تحلیل‌های دقیق‌تر گردید.

از آن جایی که یکی از مهم‌ترین بارهای جانبی وارد بر سازه نیروی زلزله می‌باشد، لذا این دیوارها باید قادر به مقاومت در برابر این نیروها باشند. اطلاعات به دست آمده از زلزله‌های اخیر نشان می‌دهد که جنبش‌های ثبت شده در نزدیکی محل گسیختگی گسل به دلیل داشتن پالس‌هایی با انرژی زیاد و اثر جهت‌گیری دارای اثراتی متفاوت نسبت به زلزله‌ی دور از گسل می‌باشند. تخریب سازه‌های مهندسی در زلزله‌های نورث‌ریچ (۱۹۹۴)، کوبه (۱۹۹۵) و چی-چی (۱۹۹۹) ضعف و آسیب‌پذیری ساختمان‌های موجود را که با استفاده از طیف پاسخ، طرح شده بودند نمایان کرد. بنابراین بسیاری از آئین‌نامه‌ها و روابط موجود نیاز به بازنگری دارند. با توجه به پژوهش‌های پیشین، تحلیل دینامیکی تاریخچه‌زمانی، که پاسخ این سیستم را تحت زلزله‌های میدان نزد یک ارائه نماید به صورت

مقدمه

مقاومت، سختی جانبی بالا و توانمندی در استهلاک انرژی دیوارهای برشی، آن‌ها را به پرکاربردترین سیستم مقاوم جانبی در ساختمان‌های بلند متوسط تبدیل کرده است. لزوم تأمین فضاهای بزرگ در ساختمان‌های بلند به دلیل فراهم ساختن امکان ایجاد کاربری‌های گوناگون در طبقات مختلف از یکسو، و ملاحظات معماری از قبیل محل درها، پنجره‌ها و راهروها از سوی دیگر موجب می‌گردد قرار دادن دیوارها با ابعاد مناسب در موقعیت‌های مطلوب امکان پذیر نباشد. یکی از فرم‌های سازه‌ای برای غلبه بر این مشکل، استفاده از دیوارهای برشی کوپله می‌باشد.

پیش از وقوع زلزله‌ی آلاسکا (۱۹۶۴) عملکرد تیرهای همبند مورد بررسی دقیق قرار نگرفته بود، و این اعضا تحت اثر خمث و برش همانند تیرهای عمیق طراحی می‌شدند. تخریب ساختمان Mt.Mcking در این زمین‌لرزه، نشان داد که روابط و آئین نامه‌های موجود نیازهای لرزه‌ای این دیوارها را تأمین نمی‌کند. تحقیقات ابتدایی در این زمینه بر روی جزئیات آرماتور گذاری تیرهای همبند، برای بالا بردن ظرفیت جذب انرژی و بهبود رفتار آن‌ها تمرکز یافت. در سال ۱۹۷۴ پائولی برای بالابردن شکل‌پذیری این دیوارها، روش آرماتور گذاری جدیدی را پیشنهاد کرد. در این روش یک گروه آرماتور به صورت قطری در تیر همبند قرار داده می‌شد و برای جلوگیری از کمانش آرماتورهای قطری، تنگ‌هایی به دور آن‌ها پیچیده می‌شد. آزمایش‌های پائولی نشان داد روش آرماتور گذاری پیشنهادشده باعث افزایش قابل توجه ظرفیت جذب انرژی تیرهای کوپله می‌شود و این تیرها دارای پاسخی پایدارتر در چرخه‌های بالاتر، بدون کاهش در مقاومت و سختی خواهد بود [۱]. با توجه به این‌که ساخت دیوارهای برشی با آرماتور گذاری قطری در هنگام اجرا با مشکلاتی روبرو می‌باشد، لذا جهت ساده‌سازی در هنگام ساخت، روش‌های دیگری توسط دیگر محققان پیشنهاد گردید، که می‌توان به روش پیشنهادی تگوس و پنليس (۱۹۸۸) [۲]، و

توسط لیو (۲۰۰۱)، آل شیخ (۲۰۰۳) و سعیدی و سامرویل (۲۰۰۵) اشاره نمود. لیو و همکاران برای بررسی ویژگی‌های پاسخ غیرخطی قاب‌های بتنی تحت زلزله‌های نزدیک گسل، دو قاب خم شی ۵ و ۱۲ طبقه را تحت ۴ ستادنگاشت نزدیک گسل از زلزله‌ی چی‌چی تایوان و تعدادی ستادنگاشت از مناطق دیگر جهان مورد تحلیل قراردادند، آن‌ها در یافته‌ند که تغییرمکان نسبی در هر دو سازه، تحت زلزله‌های نزدیک گسل بیشتر از زلزله‌های دور از گسل است [۸]. آل شیخ و همکاران در تحقیقی دیگر اثر زلزله‌های نزدیک گسل را با انجام تحلیل بار استاتیکی افزاینده و تحلیل دینامیکی بر روی قاب‌های بتنی ۶، ۳، ۲۰ و ۱۲ طبقه مورد مطالعه قراردادند، نتایج حاصل از تحلیل نشان دادند که برای یک برش پایه ثابت روی قاب‌های بتنی، تغییرمکان به دست آمده از روش بار افزاینده محافظه کارا نه تراز روش تحلیل دینامیکی می‌باشد و هم‌چنین روش استاتیکی بار افزاینده برای طراحی براساس تغییرمکان، برای سازه‌های تحت زلزله‌های نزدیک گسل مناسب‌تر است [۹]. سعیدی و سامرویل به بررسی اثرات زلزله‌ی نزدیک گسل بر روی ستون‌های بتنی پرداختند. در این تحقیقات مشخص شد، زلزله‌های میدان نزدیک باعث ایجاد تغییرشکل‌های ماندگاری در ستون‌ها می‌شود [۱۰].

خصوصیات دیوارهای مورد بررسی

در این تحقیق شش ساختمان بتنی ۱۰ و ۲۰ طبقه به عنوان ساختمان‌هایی با تعداد طبقات متوسط و زیاد برای ارزیابی اثرات زلزله‌ی حوزه‌ی نزدیک و مقایسه با زلزله‌های حوزه‌ی دور مورد استفاده قرار گرفته‌اند. سیستم مقاوم جانبی در ساختمان‌ها در جهت X قاب خمی ویژه و دیوار برپیشی، و در جهت لا قاب خمی ویژه به همراه دیوار برپیشی کوپله می‌باشد. ساختمان‌ها براساس آیین‌نامه‌ی ایران و برای مناطق با خطر لرزه‌ای زیاد طراحی شده‌اند. هم‌چنین ارتفاع طبقات ساختمان‌ها ۳/۵ متر می‌باشد. پلان طبقات در شکل (۱) نمایش داده شده‌است. طول تیر همیند در تمام ساختمان‌ها برابر ۲

قابل توجهی صورت نگرفته است و کافی نمی‌باشد. درنتیجه با توجه به کمبود مطالعات انجام گرفته در مورد اثرات زمین‌لرزه‌ای میدان نزدیک و دور بر روی دیوارهای برپیشی کوپله، بررسی دقیق این موضوع احساس می‌گردد. در تحقیق حاضر رفتار دیوارهای برپیشی کوپله تحت تأثیر زلزله‌های نزدیک گسل در مقایسه با زلزله‌های دور از گسل بررسی و تحلیل شده‌اند.

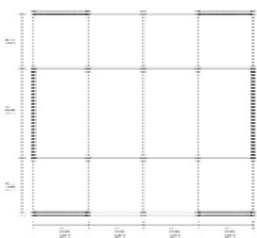
خصوصیات زلزله‌های میدان نزدیک

زلزله‌های میدان نزدیک به زلزله‌های اطلاق می‌گردد که علاوه بر نزدیکی سایت ثبت رکوردهای زلزله به محل شکست گسل، سایت مورد نظر در مسیر جهت‌گیری شکست پیش‌روندۀ باشد. رکوردهای زلزله‌های نزدیک گسل علاوه بر داشتن مقادیر بالای بیشینه ستاد، سرعت و جایه‌جایی که باعث بروز خرابی و خسارت بالا در سازه‌های قرار گرفته در این محدوده می‌شوند، بهدلیل داشتن حرکات پالس‌گونه در ابتدای رکوردها در مدت زمان کوتاه، موجب وارد آمدن مقادیر زیادی انرژی به سازه می‌گردد و هم‌چنین توزیع رفتار غیرخطی سازه دگرگون می‌شود، بهطوری که بهجای توسعه‌ی رفتار غیرخطی و مفاصل پلاستیک در ارتفاع سازه، انرژی ناشی از زلزله در اولین مفاصل ایجاد شده، جذب می‌گردد و توزیع و توسعه‌ی رفتار غیرخطی در تمام مفاصل سازه مشاهده نمی‌شود، در نتیجه رفتار مناسبی در مقابل نیروهای وارد در اثر زلزله‌های نزدیک گسل در سازه‌ها مشاهده نمی‌شود [۶] و [۷]. تحقیقات انجام گرفته در این زمینه را می‌توان به دو بخش تقسیم نمود، بخش اول مجموعه‌ای از تحقیقاتی است که برروی رکوردهای ثبت شده‌ی ناشی از جنبش قوی زمین در نزدیکی گسل و مشخصات و پارامترهای مختلف مربوط به این رکوردها انجام گرفته است و بخش دوم مجموعه تحقیقاتی است که مربوط به بررسی رفتار سازه‌های مختلف تحت اثر رکوردهای نزدیک گسل می‌باشد.

در این رابطه می‌توان به تحقیقات انجام گرفته

پریود پالس می‌باشد. برای محسنهای مدت زمان پالس هیچ روش واحدی وجود ندارد ولی رایج‌ترین روش مورداستفاده، زمان اوج طیف پاسخ سرعت می‌باشد [11].

شتاب‌نگاشتهای زلزله‌های مورد استفاده در تحلیل‌های دینامیکی غیرخطی، برای شتاب $g_{\text{max}} = 0.35$ (شتاب مبنای منطقه‌ی لرزه‌خیزی با خطر نسبی خیلی زیاد) همپایه شده‌اند. اگرچه روش‌های دیگری برای همپایه کردن وجود دارد ولی چون همپایه کردن به شتاب مبدأ، محتوا فرکانسی را تغییر نمی‌دهد و تمایز اصلی بین زلزله‌های میدان دور و میدان نزدیک محتوا فرکانسی می‌باشد و هدف مقایسه‌ی زلزله‌ها می‌باشد بنابراین از این روش استفاده شده‌است.



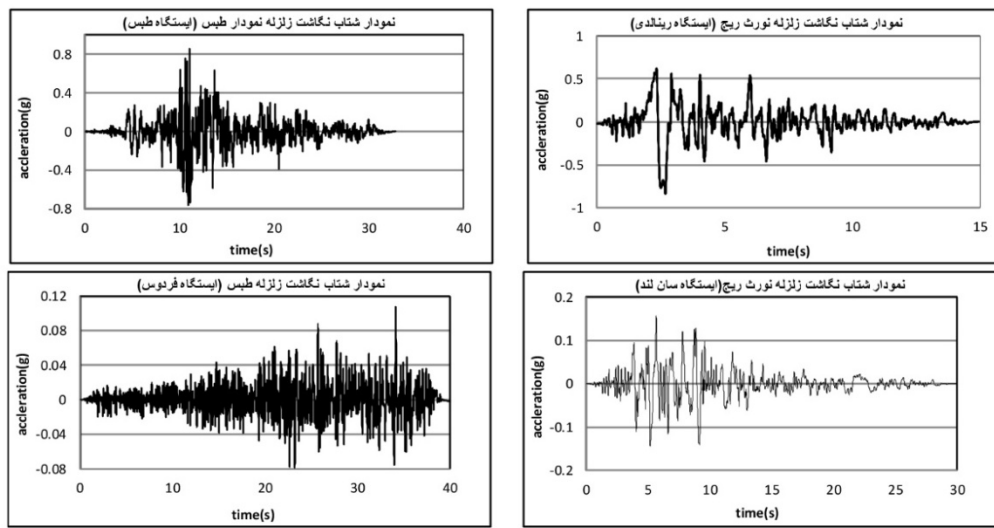
شکل ۱ پلان طبقات

جدول ۱ مشخصات دیوارهای انتخابی

نام دیوار	ارتفاع دیوار (m)	ارتفاع تیر همبند (m)	طول تیر همبند (m)	ارتفاع تیر همبند (m)	l/h	T(sec)	DC
D-H10-I2-h0.7-t0.35	10	2	0.7	3/4	1/0.9	.42	
D-H10-I2-h1-t0.35	10	2	1	2	1/0.76	.5095	
D-H10-I2-h1/75-t0.35	10	2	1/75	1/14	0/73	.5847	
D-H20-I2-h0.7-t0.5	10	2	0.7	3/4	4/0.98	.05	
D-H20-I2-h1-t0.5	10	2	1	2	3/33	.6224	
D-H20-I2-h1/75-t0.5	10	2	1/75	1/14	3/246	.6763	

جدول ۲ مشخصات زمین‌لرزه‌های انتخابی

زمین‌لرزه	سال	ایستگاه	جهت	M_w	فاصله (Km)	PGA (g)	PGV (m/s)	PGD (m)	T_p (sec)
کبیر	طبس	1978	TABAS	TR	7/4	3	0/852	121/4	94/58
	نورث ریچ	1994	RINALDI	228	6/7	7/1	0/838	166/1	28/78
کبیر	طبس	1978	FERDOWS	T1	7/4	94/4	0/108	8/6	9/69
	نورث ریچ	1994	SUNLAND	260	6/7	17/7	0/157	14/5	4/29



شکل ۲ شتاب‌نگاشت زمین‌لرزه‌های انتخابی

بارگذاری افزایشی بوده و کرنش‌های ایجاد شده در بتن یکنواخت می‌باشند. بدیهی است که با توجه به بارگذاری لرزه‌ای مدل‌ها در این پژوهش، این مدل قابل استفاده نیست. مدل دوم، مدل آسیب‌دیدگی خمیری می‌باشد. مدل آسیب‌دیدگی خمیری یک مدل ترکیبی است که قابلیت در نظر گرفتن هم‌زمان شکست ناشی از فشار و کشش در بتن را دارد. این مدل اولین بار توسط لوبیترو همکاران (۱۹۸۹) ارائه شد و سپس توسط لیو فنووس (۱۹۹۸) اصلاح گردید. در این مدل مهمترین مکانیزم‌های شکست بتن ترک خوردگی کششی و خرد شدگی فشاریمی باشند. تحت بارگذاری تک محوره، نمودار تنش-کرنش بتن در کشش و فشار در این تئوری مانند شکل ۳ در نظر گرفته می‌شود. بنابراین طبق تئوری آسیب‌دیدگی خمیری رابطه تنش-کرنش به صورت زیر در نظر گرفته می‌شود:

$$\sigma = (1-d)D_0^{el}(\varepsilon - \varepsilon^{pl}) = D^{el}(\varepsilon - \varepsilon^{pl}) \quad (3)$$

در رابطه‌ی بالا D_0^{el} سختی الاستیک اولیه‌ی ماده و D^{el} سختی الاستیک کاهش یافته می‌باشد. ε کرنش کل است که طبق رابطه‌ی (۱۲) از مجموع کرنش الاستیک و کرنش پلاستیک به دست می‌آید.

$$\varepsilon = \varepsilon^{el} + \varepsilon^{pl} \quad (4)$$

تحلیل غیرخطی دینامیکی تاریخچه‌زمانی
رابطه‌ی (۲) معادله‌ی دینامیکی حاکم بر سازه در زمان t می‌باشد.

$$F_i(t) + F_b(t) + F_e(t) = R(t) \quad (2)$$

در رابطه‌ی فوق $F_i(t)$ بیانگر نیروهای اینرسی، $F_b(t)$ بیانگر نیروهای ناشی از میرایی و $F_e(t)$ بیانگر نیروهای ارتیجاعی می‌باشد که هر دسته از نیروی فوق تابع زمان هستند. عموماً در تحلیل دینامیکی سازه‌ها، تعادل استاتیکی نیروهای فوق در هر زمان t ارضا می‌شوند. از دیدگاه ریاضی معادله‌ی (۲) منجر به یکسری معادلات دیفرانسیل خطی درجه‌ی دو می‌گردد که عموماً در روش اجزای محدود برای حل معادلات فوق از دو روش اصلی به نام‌های روش انتگرال‌گیری مستقیم و روش ترکیب مودها استفاده می‌شود. روش انتگرال‌گیری مستقیم به دو روش انتگرال‌گیری صریح و انتگرال‌گیری ضمنی تقسیم می‌شود که در این پژوهش، از روش انتگرال‌گیری ضمنی استفاده شده است [12].

مدل‌سازی بتن

به‌طور کلی در نرم‌افزار Abaqus دو مدل رفتاری برای بتن قابل استفاده است. مدل اول با نام مدل ترک‌اندود خوانده شده و در سازه‌هایی قابل کاربرد است که دارای

$$\sigma_s = \frac{f'_t}{3} \quad (8)$$

$$w_s = 0.8 \frac{G_F}{f'_t} \quad (9)$$

$$w_0 = 3.6 \frac{G_F}{f'_t} \quad (10)$$

در روابط بالا f'_c (MPa) مقاومت فشاری بتن، $\frac{W}{C}$ حداکثر اندازه سنگدانه، d_a (mm) نسبت آب به سیمان و برای سنگدانه‌های گوشیدار و شکسته $\alpha_0 = 1.44$ می‌باشد.

برای معرفی نمودار تنش-کرنش بتن در فشار، از رابطه‌ی ارائه شده توسط تورنفلدو تروماسویز (۱۹۸۷)، استفاده شده است:

$$\frac{f_c}{f'_c} = \frac{\varepsilon_c}{\varepsilon'_c} \frac{n}{n - 1 + \left(\frac{\varepsilon_c}{\varepsilon'_c} \right)^{nk}} \quad (11)$$

$$n = 0.8 + f'_c \text{ (MPa)} \quad (12)$$

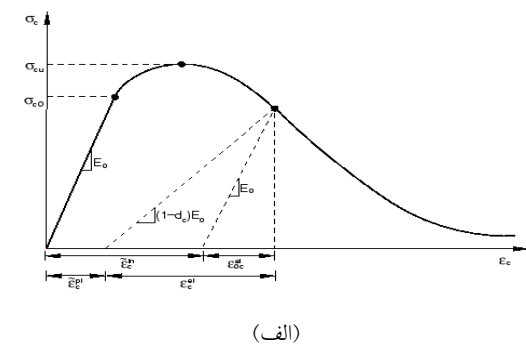
در رابطه‌ی (۱۹) f'_c (MPa) تنش فشاری و f'_c (MPa) مقاومت نمونه‌ی استوانه‌ای استاندارد بتن، ε_c کرنش فشاری و ۳ کرنش متناظر با f'_c (MPa) می‌باشد. ضریب n نیز از رابطه‌ی (۲۰) بدست می‌آید. ضریب k در رابطه‌ی (۱۹) مربوط به شاخه‌ی نزولی منحنی تنش-کرنش است و مقدار آن در شاخه‌ی صعودی برابر یک می‌باشد مقدار این ضریب از رابطه‌ی (۲۱) قابل محاسبه است.

$$k = \begin{cases} 1 & \frac{\varepsilon_c}{\varepsilon'_c} \leq 1 \\ 0.67 + \frac{f'_c \text{ (MPa)}}{62} & \frac{\varepsilon_c}{\varepsilon'_c} \geq 1 \end{cases} \quad (13)$$

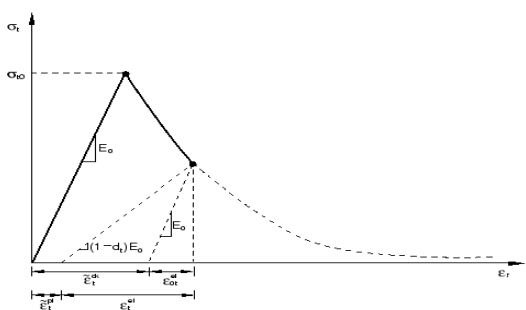
کاهش سختی الاستیک در فشار و کشش به وسیله‌ی مقادیر آسیب دیدگی d_c و d_t وارد محاسبات می‌گردد این پارامترها به کمک روابط زیر در نرم‌افزار تعریف می‌شوند [۱۵].

$$d_c = 1 - \frac{\sigma_c}{f_c} \quad (14)$$

در رابطه (۱۱-d) مقدار عددی کاهش سختی است، d می‌تواند مقادیری از صفر (برای ماده آسیب ندیده) تا یک (برای ماده کاملاً آسیب دیده) داشته باشد [۱۲].



(الف)



(ب)

شکل ۳ نمودار تنش-کرنش بتن تحت بارگذاری تکمحوره
الف) حالت فشاری، ب) حالت کششی

به منظور تعریف مدول کشسانی از رابطه زیر استفاده شده است [۱۳].

$$E_c = 5000 \sqrt{f'_c \text{ (MPa)}} \quad (5)$$

برای تعریف رفتار بتن در کشش، از منحنی نرم‌شدگی دو خطی بتن استفاده شده است. منحنی نرم شوندگی بتن را می‌توان به صورت تجربی بدست آورد اما در صورتی که پارامترهای تجربیابی منحنی در دسترس نباشند، می‌توان از روابط زیر برای محاسبه آنها استفاده نمود [۱۳, ۱۴].

$$f'_t = 0.6 \sqrt{f'_c} \quad (6)$$

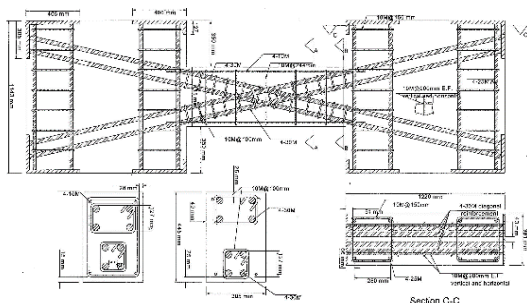
$$G_F = 2.5 \alpha_0 \left(\frac{f'_c}{0.051} \right)^{0.46} \left(1 + \frac{d_a}{11.27} \right)^{0.22} \left(\frac{W}{C} \right)^{-0.3} \quad (7)$$

بررسی صحت مدل‌سازی

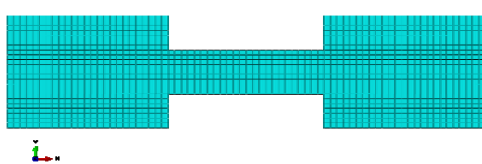
به منظور بررسی صحت روش مدل‌سازی، از یک نمونه دیوار برشی همبند که توسط طنگنالس و همکاران [16] مورد آزمایش قرار گرفته است و نتایج آزمایشگاهی آن در دست است، استفاده شده است. مشخصات بتن و فولاد در جدول (۳) آورده شده است. شکل (۶) مشخصات هندسی و آرماتورگذاری دیوار برشی همبند را نشان می‌دهد.

جدول ۳ مشخصات فولاد و بتن

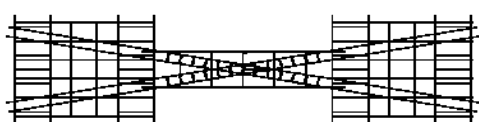
ماده	پارامتر	مقدار
بتن	چگالی جرمی	۲۴۰۰
	مدول کشسانی	۲۸۰۴۲۹
	ضریب پواسون	۰/۲
	مقاومت فشاری بتن (Pa)	۳۵۶
فولاد	چگالی جرمی	۷۸۳۰
	مدول کشسانی	۲۱۰۰۰۰
	ضریب پواسون	۰/۳
	مقاومت تسلیم	۵۰۰۰
	مقاومت نهایی	۷۰۰۰
	کرنش نهایی	۰/۰۸



شکل ۶ مشخصات هندسی و آرماتورگذاری نمونه‌ی آزمایشگاهی



(الف)



شکل ۷ مشخصات هندسی و آرماتورگذاری دیوار برشی

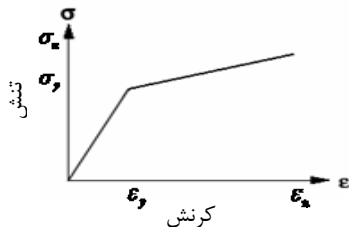
مدل‌سازی شده در Abaqus

$$d_t = 1 - \frac{\sigma_t}{f_t} \quad (15)$$

نمونه‌ی رفتاری یاد شده اگرچه از نظر تاریخی قدمت دارد اما دارای دقیق و اعتبار کافی برای مدل‌سازی رفتار غیرخطی بتن می‌باشد.

مدل‌سازی فولاد

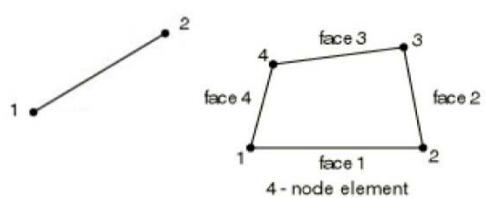
در پژوهش‌ها، معمولاً نمودار تنش - کرنش فولاد با یک نمودار ایده‌آل‌سازی شده جایگزین می‌گردد. در این پژوهش برای شبیه‌سازی رفتار فولاد نمودار تنش - کرنش، به صورت یک ناحیه‌ی الاستیک خطی و یک ناحیه‌ی پلاستیک خطی در نظر گرفته شده است. هم‌چنین رفتار فولاد در کشش و فشار یکسان فرض گردیده است. مدل مذکور اگرچه قدمت دارد ولی دارای دقیق است. شکل (۴) رفتار فرض شده برای فولاد را نشان می‌دهد.



شکل ۴ نمودار تنش - کرنش فولاد

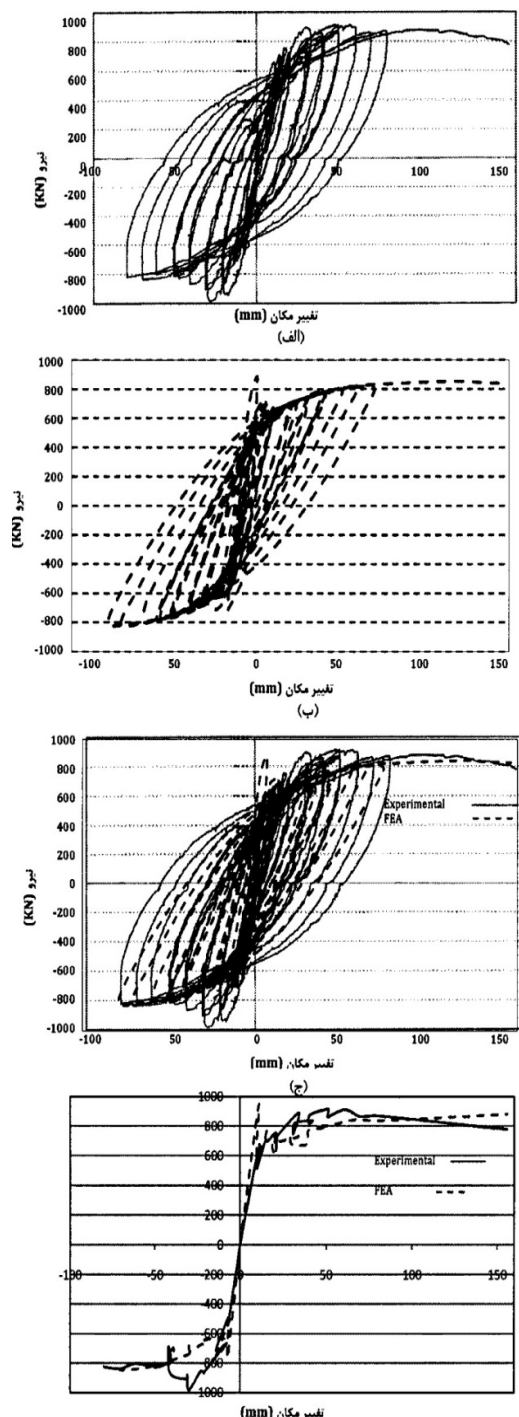
اجزای به کار رفته

به منظور مدل‌سازی بتن در نرم‌افزار Abaqus از جزء CPS4R استفاده شده است. این جزء یک جزء چهارگره‌ی همنگ با دو درجه آزادی در هر گره می‌باشد. برای مدل‌سازی فولاد از جزء T2D2 استفاده شده است که یک جزء خرپایی دو گرهی با دو درجه آزادی در هر گره می‌باشد [12].



شکل ۵ (الف) جزء CPE4R، (ب) جزء T2D2

تغییر مکان نسبی طبقات نشان می‌دهند.



شکل ۸ نمودار بار تغییر-مکان نمونه‌ی آزمایشگاهی و مدل‌سازی شده
 (الف) نمونه‌ی آزمایشگاهی، (ب) نمونه‌ی مدل‌سازی شده،
 (ج) نمودار چرخه‌ای نمونه‌ی آزمایشگاهی و مدل‌سازی شده، (د)
 نمودار پوش

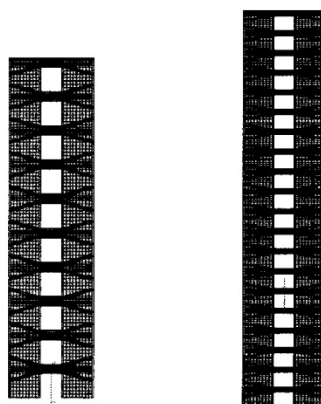
نمونه‌ی یاد شده در نرم‌افزار Abaqus با جزئیات کامل (شکل ۷) مدل سازی شده است. نمودارهای بار-تغییر مکان به دست آمده از نمونه‌ی آزمایشگاهی و نمونه‌ی مدل‌سازی شده در شکل (۸) آورده شده است. هم‌چنین به منظور سهولت در مقایسه، دو نمودار و پوش نمودارها در یک دستگاه ترسیم شده است. با توجه به شکل مشاهده می‌شود که مدل‌سازی دیوار برشی مطابقت خوبی با نمونه‌ی آزمایشگاهی دارد و دارای دقت کافی برای بررسی رفتار دیوار برشی می‌باشد.

نتایج عددی

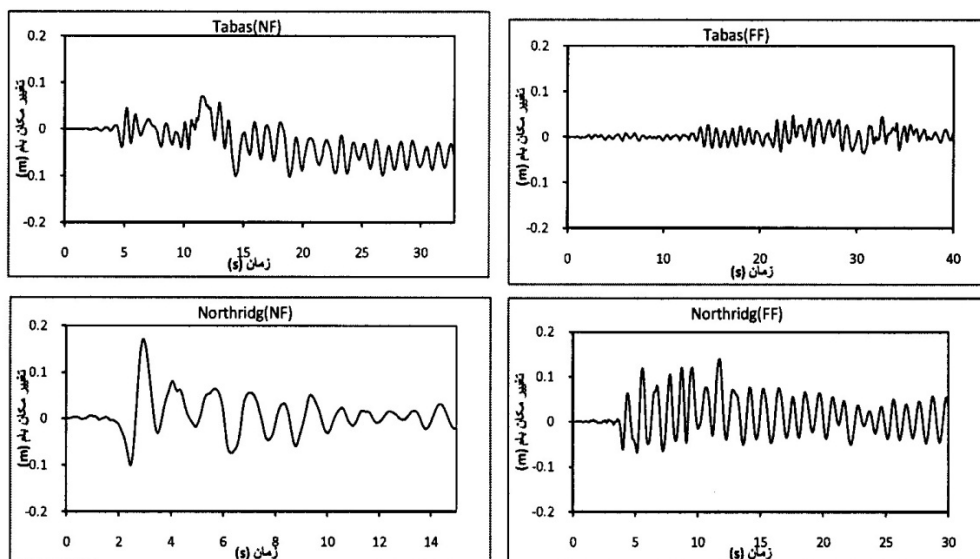
در مجموع ۲۴ تحلیل غیرخطی تاریخچه زمانی بر روی ۶ دیوار برشی همبند صورت گرفته است. برای بررسی رفتار و محاسبه‌ی نیاز لرزه‌ای هر یک از دیوارها، تغییر مکان نسبی طبقات، پوش پا یه‌ی ماکریم، تغییر مکان ماکریم بالای دیوار و توزیع تنش‌ها در تیر کوپله مورد بررسی و مقایسه قرار گرفته است.

تغییر مکان کلی و نسبی طبقات

نتایج تغییر مکان کلی و نسبی طبقات برای تمام دیوارها محاسبه گردیده است و نمودار تغییر مکان نسبی ماکریم دیوارها در ارتفاع، برای زلزله‌های مختلف دور و نزدیک گسل ترسیم گردیده‌اند. جدول (۴) مقدار تغییر مکان ماکریم بالای دیوارها را نشان می‌دهد. با توجه به این جدول، متوسط حداقل تغییر مکان بام تحت اثر زلزله‌های نزدیک و میدان دور در دیوارهای ده طبقه به ترتیب $15/07$ و $7/7$ سانتی‌متر می‌باشد، بنابراین رکوردهای نزدیک گسل به طور متوسط باعث افزایشی $96/9$ درصدی در حداقل تغییر مکان بام می‌شوند. این مقادیر برای دیوارهای 20 طبقه $50/14$ و $29/70$ سانتی‌متر می‌باشد که افزایش $68/84$ درصدی را نشان می‌دهد. هم‌چنین شکل‌های (۱۰)، (۱۱) و (۱۲) نمونه‌ای را از تاریخچه‌ی تغییر مکان بام و



شکل ۹ نمونه‌ی دیوارهای مدل‌سازی شده در Abaqus



شکل ۱۰ تاریخچه‌ی تغییرمکان بام برای رکوردهای دور و نزدیک گسل دیوار ۱/۷۵

جدول ۴ تغییرمکان ماکریم بام برای رکوردهای دور و نزدیک گسل

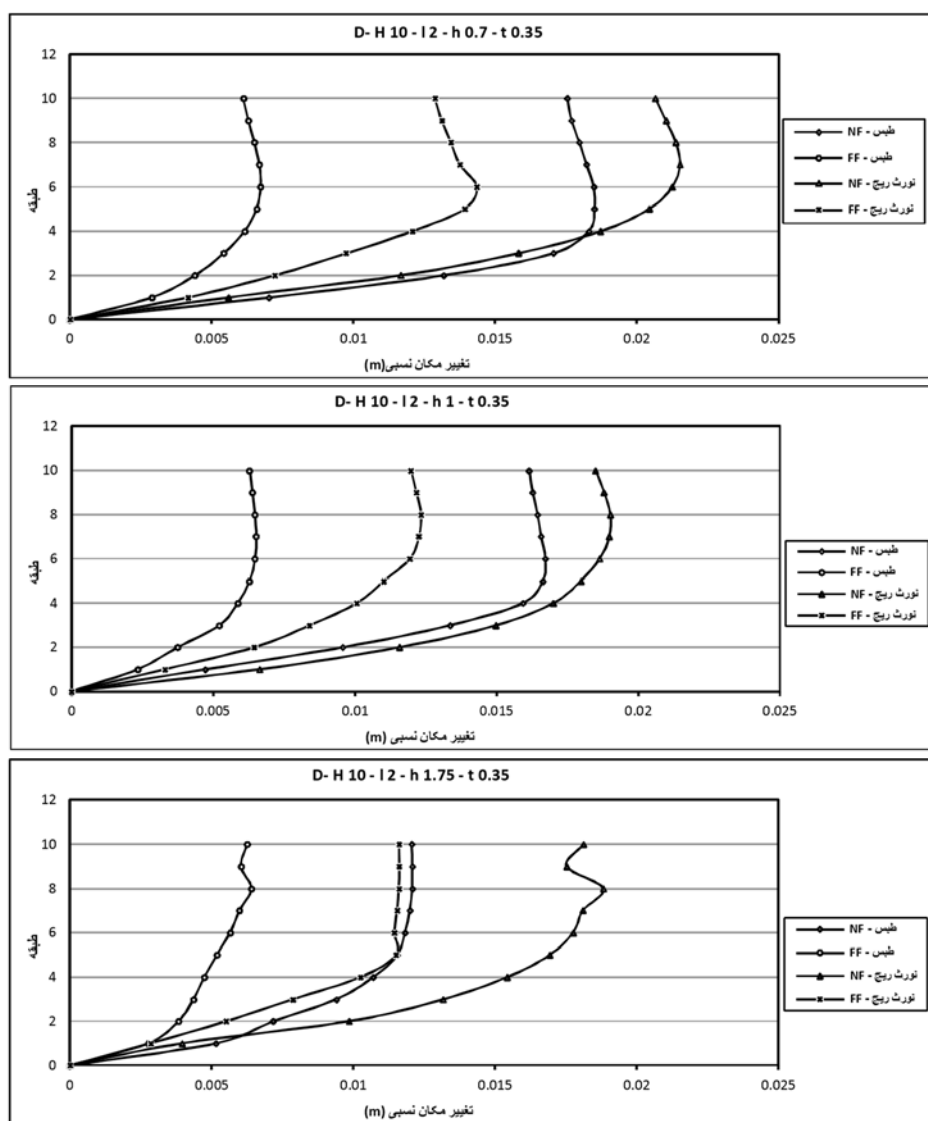
دیوار	tabas		northridg			
	near	far	near/far	near	far	near/far
D-H10-I2-h0/v-t0/35	0/1638	0/0557	0/9407	0/1803	0/1017	1/7728
D-H10-I2-h1-t0/35	0/1296	0/5384	0/4071	0/1667	0/1010	1/6504
D-H10-I2-h1/v5-t0/35	0/1028	0/0467	0/2012	0/1607	0/1002	1/6037
D-H20-I2-h0/v-t0/5	0/5805	0/3238	0/7761	0/4846	0/2878	1/7895
D-H20-I2-h1-t0/5	0/5677	0/3225	0/7577	0/4331	0/5659	1/6288
D-H20-I2-h1/v5-t0/5	0/5133	0/3146	1/6316	0/4302	0/2651	1/6227

گسل می‌باشد. از این نمودارها نتیجه می‌شود که تغییرمکان کلی و نسبی طبقات ناشی از رکوردهای

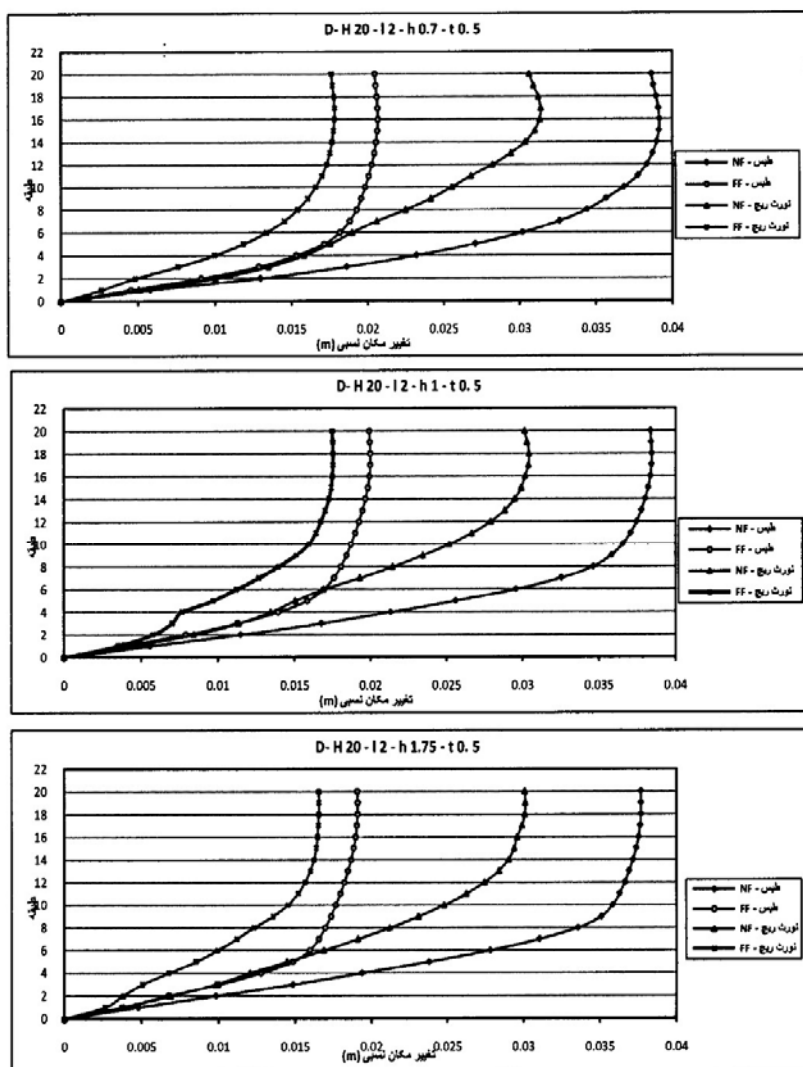
در این نمودارها (NF) نشان دهنده‌ی رکوردهای نزدیک گسل و (FF) نشان دهنده‌ی رکوردهای دور از

تشهود و نیروهای بزرگتری قرار می‌گیرد (شکل ۱۳) و بنابراین در صورتی که اتصال تیر به دیوار دارای مقاومت کافی نباشد، با توجه به کانتورهای تنش در شکل (۱۳) که دارای توزیع ارتفاعی و جهتدار می‌باشند شکست خمشی رخ می‌دهد و تیر دچار گسیختگی می‌شود. در نتیجه سختی دیوار به طور قابل ملاحظه‌ای کاهش می‌یابد و تغییر مکان بام زیاد می‌شود.

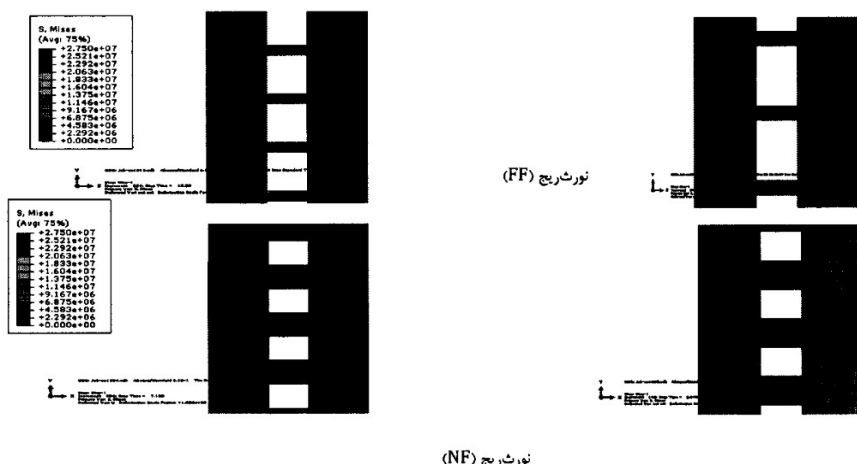
نzdیک گسل در مقایسه با رکوردهای دور از گسل بسیار متفاوتند. دلیل این امر وارد آمدن مقادیر زیادی انرژی به دیوار توسط پالس‌های موجود در ابتدای رکوردهای نزدیک گسل می‌باشد، ولذا لزوم در نظر گرفتن تأثیرات رکوردهای حوزه‌ی نزدیک از اهمیت بالایی برخوردار می‌باشد. نکته‌ی قابل توجه دیگر این است که با کم شدن ارتفاع تیر همبند که منجر به کاهش سختی می‌گردد، مقدار حداقل جابه‌جایی بام افزایش می‌یابد. زیرا در زلزله میدان نزدیک تیر کوپله تحت



شکل ۱۱ تغییر مکان نسبی طبقات برای رکوردهای دیوارهای برشی ۱۰ طبقه



شکل ۱۲ تغییر مکان نسبی طبقات برای رکوردهای دیوارهای برشی ۲۰ طبقه



شکل ۱۳ تشن‌های ایجادشده در تیرهای همبند تحت اثر رکوردهای دور و نزدیک گسل نورث ریجدر دیوارهای H10-L2-h.5-t0.35 و H10-L2-h.75-t0.35

اثرات نزدیک گسل و در نتیجه افزایش ضربیت تشدید می شود.

شتاب بام

مقدار حداقل پاسخ تاریخچه زمانی شتاب برای بام استخراج، و در جدول (۶) آورده شده است. همان‌طور که مشاهده می‌گردد، مقادیر شتاب برای زلزله‌های میدان نزدیک و میدان دور در دیوارهای ۱۰ طبقه، دارای تفاوت کمی نسبت به یکدیگر می‌باشند. در دیوارهای ۲۰ طبقه مقادیر شتاب حاصل از رکوردهای حوزه‌ی نزدیک مقادیر بیشتری را نسبت به رکوردهای حوزه‌ی دور دارا می‌باشند. زیرا دیوارهای برشی جزء سیستم‌های مقاوم جانبی سخت می‌باشند، بنابراین در ناحیه‌ی بین شتاب زمین و ناحیه‌ی شتاب ثابت عمل می‌کنند. با شکل‌گیری مفاصل پلاستیک در محل اتصال تیر و دیوار، پریود سازه افزایش می‌یابد و دیوار وارد ناحیه‌ی شتاب ثابت می‌شود در نتیجه تحت اثر زلزله‌های میدان نزدیک و میدان دور با یک شتاب زلزله‌ی ثابت، شتاب انتقالی به سازه نسبتاً ثابت می‌ماند و شتاب بام سازه برای زلزله‌های دور و نزدیک گسل دارای تفاوت کمی نسبت به یکدیگر می‌باشند.

برش پایه

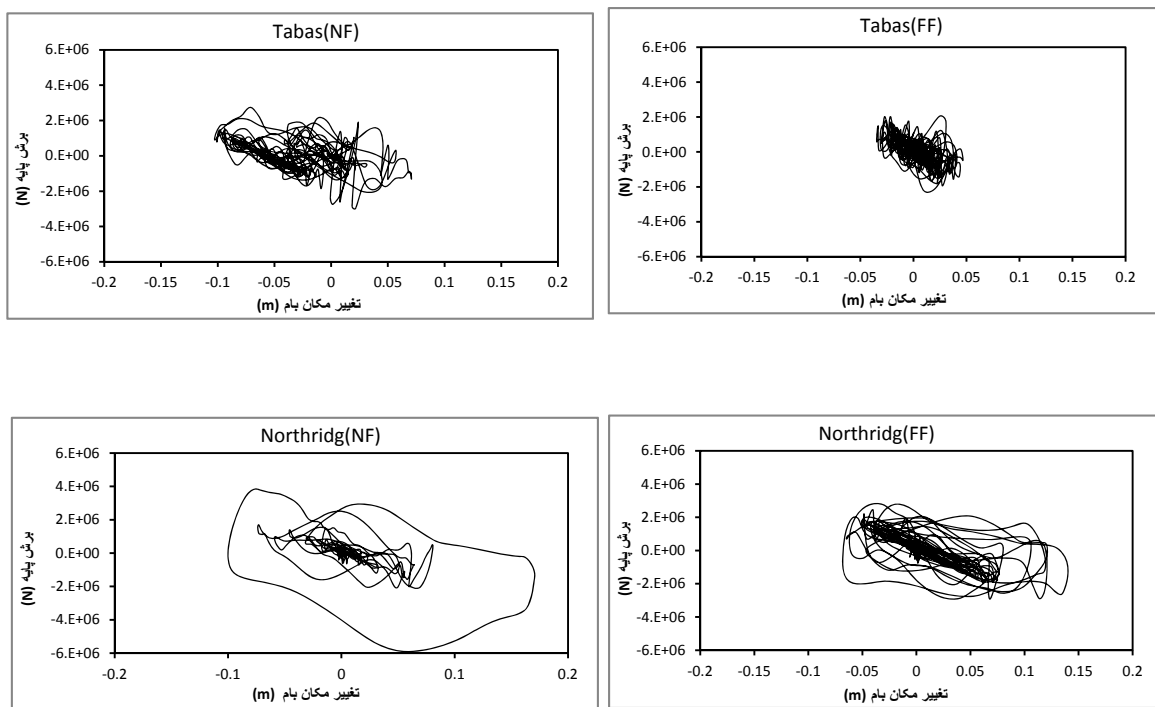
نسبت برش پایه و ضربیت تشدید برش پایه برای دیوارهای مورد بررسی تحت اثر رکوردهای میدان نزدیک و دور در جدول (۵) آورده شده‌اند. با توجه به مقادیر جدول (۵) مشخص می‌شود، زلزله‌های میدان نزدیک در دیوارهای ۱۰ و ۲۰ طبقه به‌طور متوسط برش پایه‌ای برابر ۲۹۷۹ و ۴۴۸۲ کیلو نیوتن را ایجاد می‌کنند که در مقایسه با مقادیر برش پایه ۲۱۴۹ و ۴۰۷۴ کیلو نیوتنی ایجاد شده توسط زلزله‌های میدان دور، به ترتیب افزایشی ۴۱ و ۱۲ درصدی را نشان می‌دهد. بنابراین می‌توان نتیجه گرفت، برش پایه ناشی از رکوردهای نزدیک گسل در مقایسه با رکوردهای دور از گسل، از مقادیر زیادتری برخوردار می‌باشند. همچنان با افزایش ارتفاع تیر همبند و افزایش سختی دیوار و در نتیجه کاهش پریود طبیعی دیوار، ضربیت تشدید برش پایه کاهش می‌یابد. زیرا به علت حرکات پالس‌گونه‌ی زمین در زلزله‌های میدان نزدیک، دیوارهایی که تحت زلزله‌های میدان دور جزء دیوارهای با رفتار شکل‌پذیر قرار می‌گرفتند، در زلزله‌های میدان نزدیک رفتاری سخت از خود نشان می‌دهند. بنابراین افزایش نرمی و پریود اصلی دیوارها باعث افزایش

جدول ۵ برش پایه‌ی ماکزیمم برای رکوردهای دور و نزدیک گسل (KN)

دیوار	Tabas		northridg			
	near	Far	near/far	near	far	near/far
D-H۱۰-۱۲-h۰/۷-t۰/۳۵	۲۳۰۰	۱۴۷۲	۱/۵۶۲۳	۳۲۱۵	۲۰۸۶	۱/۵۴۱۰
D-H۱۰-۱۲-h۱-t۰/۳۵	۲۳۴۸	۱۵۹۷	۱/۴۷۰۴	۳۳۴۴	۲۵۹۵	۱/۲۸۸۴
D-H۱۰-۱۲-h۱/۷۵-t۰/۳۵	۲۹۸۶	۲۲۲۰	۱/۳۴۵۲	۳۶۸۱	۲۹۲۲	۱/۲۵۹۴
D-H۲۰-۱۲-h۰/۷-t۰/۵	۳۳۱۴	۲۵۹۳	۱/۲۷۸۲	۵۳۶۷	۴۸۴۵	۱/۱۰۷۵
D-H۲۰-۱۲-h۱-t۰/۵	۳۵۰۳	۳۰۶۳	۱/۱۶۰۲	۵۵۳۱	۵۱۴۰	۱/۰۷۶۲
D-H۲۰-۱۲-h۱/۷۵-t۰/۵	۳۵۵۵	۳۱۲۵	۱/۱۳۷۴	۵۵۷۱	۵۴۷۸	۱/۰۱۶۹

جدول ۶ شتاب ماکزیمم بام برای رکوردهای دور و نزدیک گسل

دیوار	tabas		northridg	
	near	far	near	far
D-H۱۰-۱۲-h۰/۷-t۰/۳۵	۲/۷۶	۲/۷۰	۳/۲۱	۳/۰۵
D-H۱۰-۱۲-h۱-t۰/۳۵	۲/۷۵	۲/۷۷	۳/۶۲	۳/۵۲
D-H۱۰-۱۲-h۱/۷۵-t۰/۳۵	۳/۲۰	۳/۴۶	۴/۲۴	۴/۳۸
D-H۲۰-۱۲-h۰/۷-t۰/۵	۱/۴۹	۰/۷۶۹	۲/۴۱	۲/۱۵
D-H۲۰-۱۲-h۱-t۰/۵	۱/۷۵	۰/۹۴	۲/۵۷	۲/۳۶
D-H۲۰-۱۲-h۱/۷۵-t۰/۵	۱/۹۵	۱/۳۵	۲/۷۰	۲/۶۵



شکل ۱۴ منحنی هیسترزیس دیوار h2L10 H ۱/۷۵

ویژه‌ی رکوردهای نزدیک گسل، دیوارهای برشی همبند رفتار متفاوتی را تحت اثر این رکوردها از خود نشان می‌دهند. با توجه به تحلیل‌های صورت گرفته اهم نتایج به‌دست آمده به شرح زیر می‌باشند:

۱- هر چند نتایج عددی به‌دست آمده در این تحقیق کاملاً به مشخصات دیوارهای طراحی شده، رکوردها و سایر عوامل از جمله شرایط ساختگاهی سایت بستگی دارد، با این وجود بطور کلی می‌توان نتیجه گرفت که نیاز است. با توجه به این شکل مشاهده می‌شود که ناحیه‌ی وسیع تری از آرماتورهای در معرض رکورد های میدان نزدیک تسليم می‌شود و در نتیجه ناحیه‌ی مفصل پلاستیک وسیع تر می‌باشد. همچنین قسمت وسیع تری از تیر همبند در معرض تنش ها بالاتر قرار دارد که منجر به آسیب‌دیدگی و تخربی تیر همبند می‌گردد. در دیوار نیز همان‌طور که مشاهده می‌گردد ناحیه‌ی وسیع تری از آرماتورهای پای دیوارها تسليم شده‌اند که لزوم توجه بیشتر را به این مطلب نشان می‌دهند.

منحنی هیسترزیس

پا سخ تاریخچه‌زمانی برش پایه نسبت به تغییر مکان بام (حلقه‌ی هیسترزیس) برای دیوارها ترسیم گردیده و برخی از این نمودارها در شکل (۱۴) نشان داده شده‌اند. با توجه به این نمودارها مشخص می‌شود رکوردهای نزدیک گسل باعث اعمال مقادیر زیادی انرژی در مقایسه با رکوردهای دوراز گسل به دیوارها می‌شوند. این اثر به‌سبب حضور پالس‌های دامنه بلند با مدت زمان طولانی در رکوردهای حوزه‌ی نزدیک می‌باشد، بنابراین نیاز به اتلاف ناگهانی انرژی در یک مدت زمان کوتاه و در یک یا چند سیکل رفت و برگشتی است.

توزیع تنش در دیوار و تیر

نمونه‌ای از توزیع تنش هادر دیوارها و آرماتورها برای رکوردهای دور و نزدیک گسل در شکل (۱۵) آورده شده‌است.

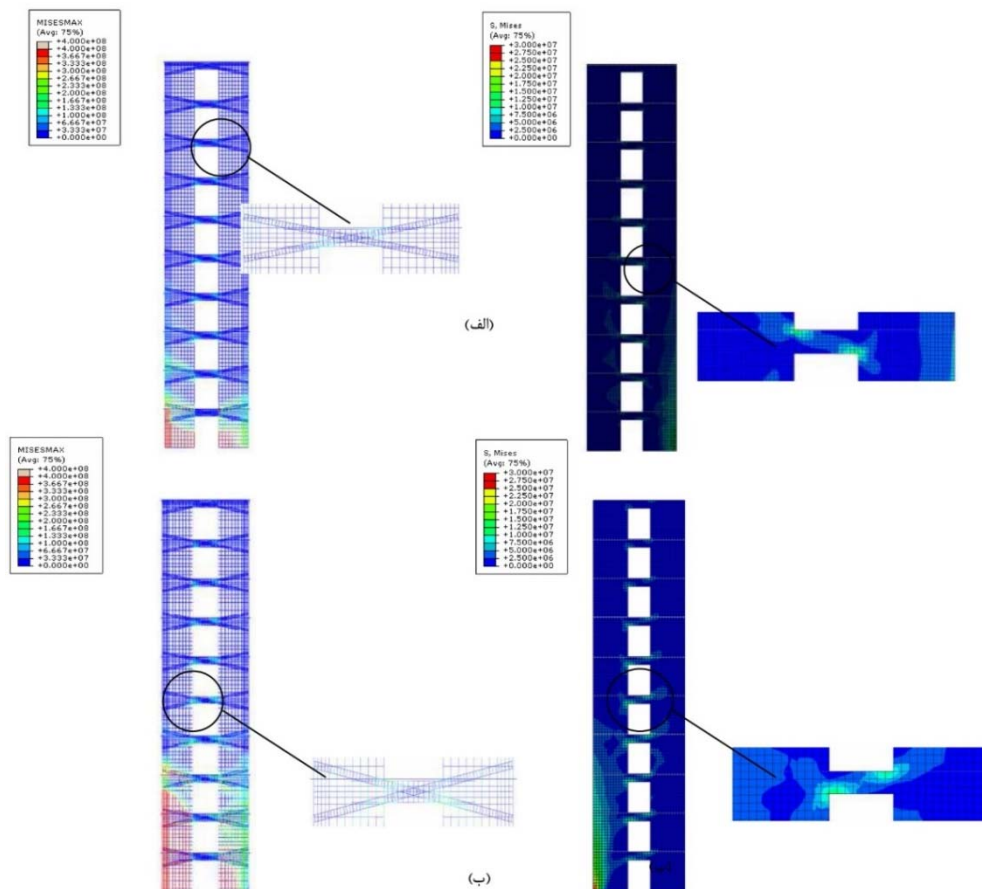
نتیجه‌گیری

نتایج این تحقیق نشان می‌دهد که با توجه به مشخصات

- فرکانسی بالای زلزله‌های نزدیک گسل، طبقات بالاتر را بیشتر تحت تأثیر قرار می‌دهد.
- ۲- مقادیر برش پایه‌ی حاصل از تحلیل دینامیکی غیرخطی تاریخچه‌مانی برای رکوردهای نزدیک گسل بیشتر از رکوردهای دور از گسل می‌باشد، لذا به نظر می‌رسد که اگر قرار باشد همین دیوارها را تحلیل استاتیکی معادل نمود، باید در آن صورت برای حالت نزدیک گسل برش پایه‌ی بالاتری را در نظر گرفت.
- ۳- ضریب تشدید برش پایه با افزایش پریود سازه که منجر به بزرگ‌تر شدن نسبت $\frac{T}{T_p}$ می‌گردد، برای یک زلزله مشخص افزایش می‌یابد زیرا اثرات نزدیک گسل در محدوده پریودهای بالا بیشتر است و افزایش نرمی و پریود اصلی سازه‌ها، باعث افزایش اثرات نزدیک گسل می‌شود.

دلیل این امر آن است که لازم است در زلزله‌های میدان نزدیک مقدار انرژی قابل توجهی در یک زمان کوتاه‌تر در مقایسه با زلزله‌ی میدان دور توسط سیستم جذب و مستهلك گردد که نتیجه‌ی آن توسعه و افزایش تنش‌ها در آر ماتورها و بتون می‌باشد.

تغییرمکانی رکوردهای نزدیک گسل در مقایسه با نیاز تغییرمکانی رکوردهای دور از گسل بیشتر است، و همچنین مراکزیم تغییرمکان نسبی تحت رکوردهای نزدیک گسل در دیوارهای ۱۰ طبقه در طبقات میانی و در دیوارهای ۲۰ طبقه در طبقات بالایی رخ می‌دهد. علت این امر آن است که با افزایش نسبت پریود سازه به پریود پالس ($\frac{T}{T_p}$) در مدل‌ها، میزان مشارکت و تأثیر مدهای بالاتر در پاسخ سازه بیشتر می‌شود و بنابراین محتوى



شکل ۱۵ توزیع تنش در دیوار $H^{10}L^2h^{7/7}$
الف) زلزله طبس-FF، ب) زلزله طبس-NF

تأکیدی دوباره بر طراحی سازه‌هایی با قابلیت استهلاک انرژی بالا برای مقابله با اثرات زلزله‌های نزدیک گسل می‌باشد. همچنین ناحیه وسیع تری از آرماتورهای تیرهای کوپله و دیوار تحت زلزله‌های حوزه‌ی نزدیک جاری می‌شوند لذا طول ناحیه‌ی پلاستیک افزایش می‌باید.

لذا پیشنهاد می‌شود این موضوع نیز در آین نامه‌های ساختمانی از جمله آین نامه‌ی ۲۸۰۰ ایران مورد توجه و بررسی قرار گیرد.

۴- حلقه‌ی پسماند نظیر رکوردهای نزدیک گسل در تمام دیوارها نشان از اعمال انرژی بالا در مقایسه با رکوردهای دور از گسل می‌باشد که این مطلب

مراجع

- Paulay, T., and Binney, J.R., "Diagonally Reinforced Coupling Beams of Shear Walls", *Shear in Reinforced Concrete*, ACI Publication SP-42, pp. 579-598, (1974).
- Teqos, LA and Penelis G. Gr., "Seismic Resistance of Short Columns and Coupling Beams Reinforced with Inclined Bars", *ACI Structural Journal*, vol. 85, N.1 January February. Pp. 82-88, (1988).
- Galano, L., and Vignoli, A., "Seismic behavior of short coupling beams with different reinforcement layouts", *Structural Journal*, ACI, Vol. 97, No. 6, pp. 876-885, (2000).
- Zhu ,Y., Zhou, F. L., and Su, R. K. L., "Seismic effects on shear wall structure by coupling beams with side bolted stell plate", *The 14th World Conference on 11.Earthquake Engineering* October 12-17, Beijing, China, (2008).
- Kwan, K. H., "An improved wide column frame analogy for shear/core wall analysis", *J. Struct. Engng Am. Sot. Civ. Engrs*, Feb, (1993).
- Stewart, J. P., and Chiou, S. J., and Bray, J. D., and Graves, R. W., and Somerville, P.G. and Abrahamson, N.A., "Ground motion evaluation procedures for performance-Based design", *PEER report*, (2001/09).
- Somerville, P. G., "Engineering characterization of the near fault ground motion", *Proceeding of the SMIP97 seminar*, CA, PP. 9-28, (1997).
- Liao, W. I., and Loh, C.H., and Wan, S., "Earthquake responses of RC moment frames subjected to near-fault ground motions", *Structural Design of Tall Buildings*, Vol. 10(3), pp. 219-229, (2001).
- El Sheikh, A., and Ghobarah, A., and Elgohary, M., "Effect of near-fault ground motion on the response of concrete structures", *Proceedings of the International Symposium on Seismic Evaluation on Existing Nuclear Facilities International Atomic Energy Agency*, Vienna, IAEA-CN-106/46 (2003).
- Saiidi, M., Somerville, P., "Bridge seismic analysis procedure to address near-fault effects", A report of Structure and Environmental Engineering at the University of Nevada-Reno, Vol.07-06. (2005)
- Alavi,B., Krawingler, H. "Consideration of near-fault ground motion effects in seismic design", *Proceedings of the 12th WCEE*, New Zealand, (2000).
- ABAQUS UsersManual, Version 6.5. Hibbit, Karlson & Soreneesen, Inc. Pawtucket, RI. (2004).

13. Bazant, Z. P, Becq-Giraudon E., "Statistical predication of fracture parameters of concrete and implication Forchoice of testing standard", *Cement Concrete Research*, Vol. 32, No. 4, PP.529-556, (2002).
14. Petersson, P.-E., "Crack growth and development of fracture zones in plain concrete and similar materials", Division of Building Materials, Lund Institute of Technology, Report TVBM-1006, (1981).
15. Thorenfeldt, E., and Tomasazwicz, A., "Mechanical properties of high-strength concrete and application in design", Proceeding of the symposium utilization of high strength, Tapir, Trondheim, pp. 149-159, (1987).
16. Adebar, P.; Hindi, R., and Gonzalez, E., "Seismic Behavior of a Full Scale Diagonally Reinforced Slender Coupling Beam," *Technical Report*, Department of Civil Engineering, The University of British Columbia, Vancouver, British Columbia, Canada, (2001).